

PLANCHE A

EXPLICATION DE LA PLANCHE A

FIG. 1 à 27. — *Anthraconauta minima* (HIND, non LUDWIG), non *Anthraconauta belgica* HIND.

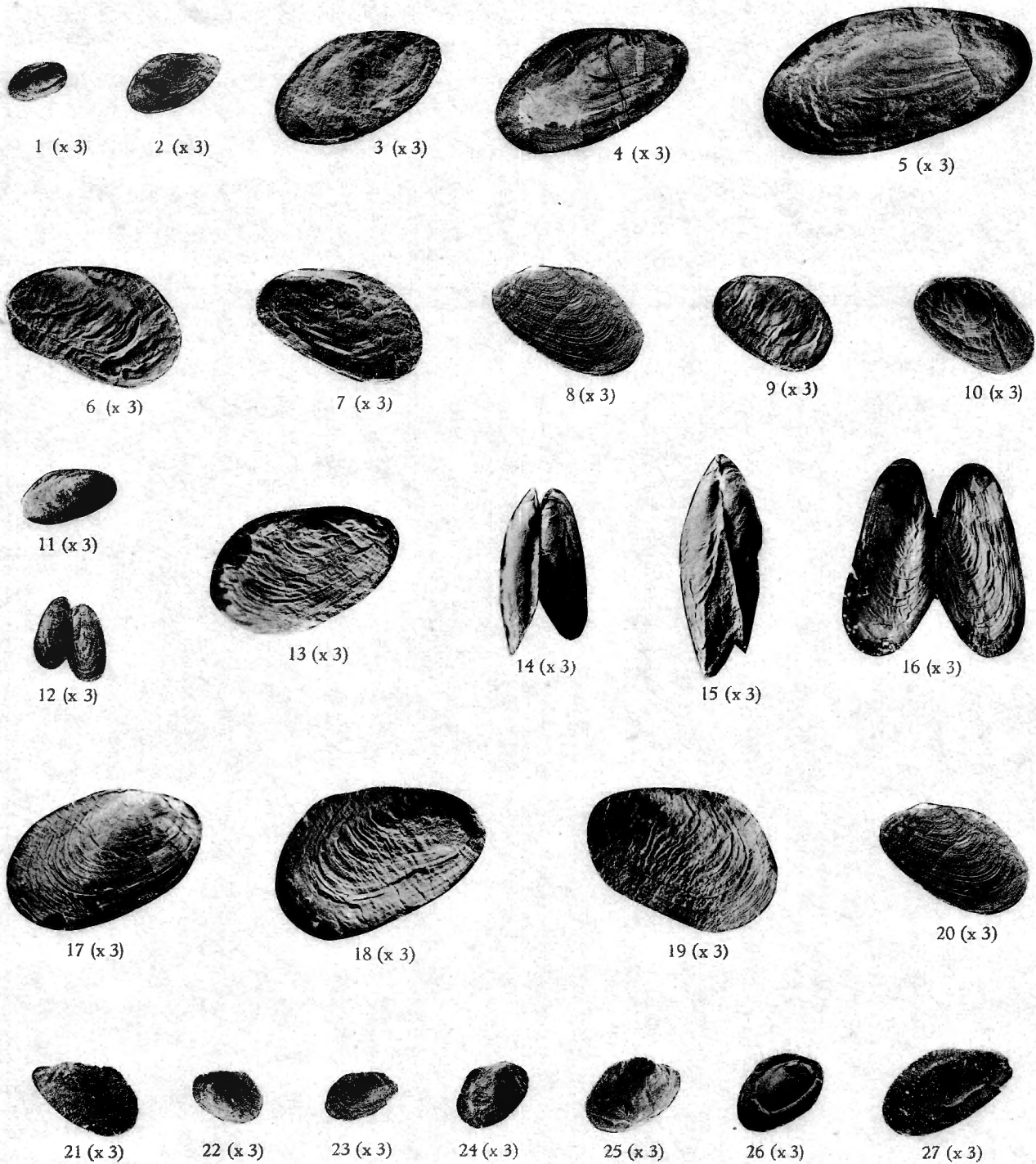
Loc. : Pl. Chênée, n^{os} 4 et 5, Angleur.

FIG. 1 à 5 et 6 à 10. — (N^{os} A 318, A 230, A 500, A 478, A 454) et (N^{os} A 18, A 353, A 465, A 23, A 22). Suite d'exemplaires représentatifs du type moyen, normal.

FIG. 11 à 16. — (N^{os} A 348, A 10, A 69, A 458, A 472, A 145). Suite d'exemplaires présentant une ligne cardinale et une région umbonale bien caractérisées.

FIG. 17 à 20. — (N^{os} A 435, A 453, A 445, A 465). Suite d'exemplaires présentant une ornementation bien caractérisée.

FIG. 22 à 27. — (N^{os} A 429, A 451, A 465, A 452, A 439, A 367, A 294). Suite d'exemplaires présentant une zone umbonale du test différenciée.



Anthraconauta minima (HIND, non LUDWIG), non *Anthraconauta belgica* HIND.
Gisements d'Angleur

PLANCHE B

EXPLICATION DE LA PLANCHE B

I

FIG. 1 à 15. — *Anthraconauta minima* (HIND, non LUDWIG), non *Anthraconauta belgica* HIND.

Loc. : Pl. Andenne, n° 19, Stud.

FIG. 1 à 10. — (N°s S 338, S 451, S 35, S 100, S 451, S 493, S 512, S 170, S 29, S 20).
Suite d'exemplaires représentatifs du type moyen, normal.

FIG. 11 à 15. — (N°s S 30, S 233, S 22, S 253, S 222). Suite d'exemplaires présentant une ligne cardinale et une région umbonale bien caractérisées.

II

FIG. 16 à 36. — *Anthraconauta minima* (HIND, non LUDWIG).

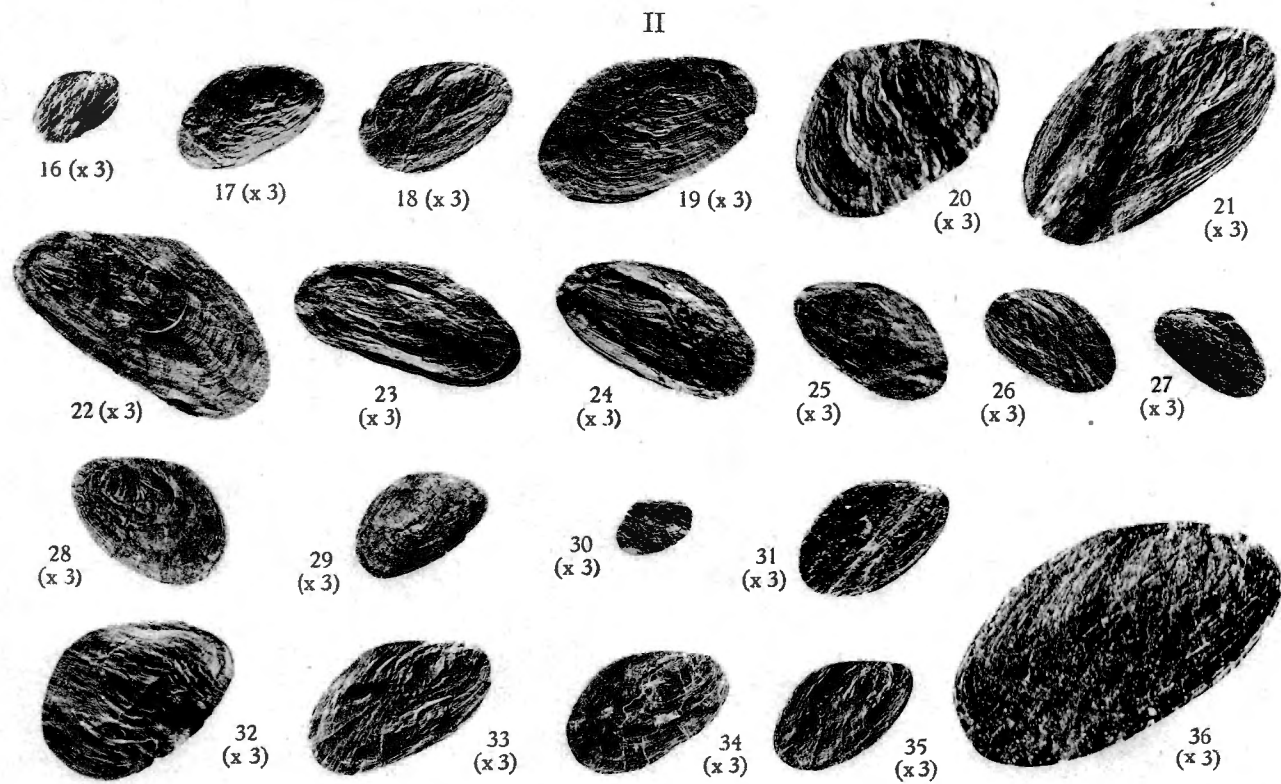
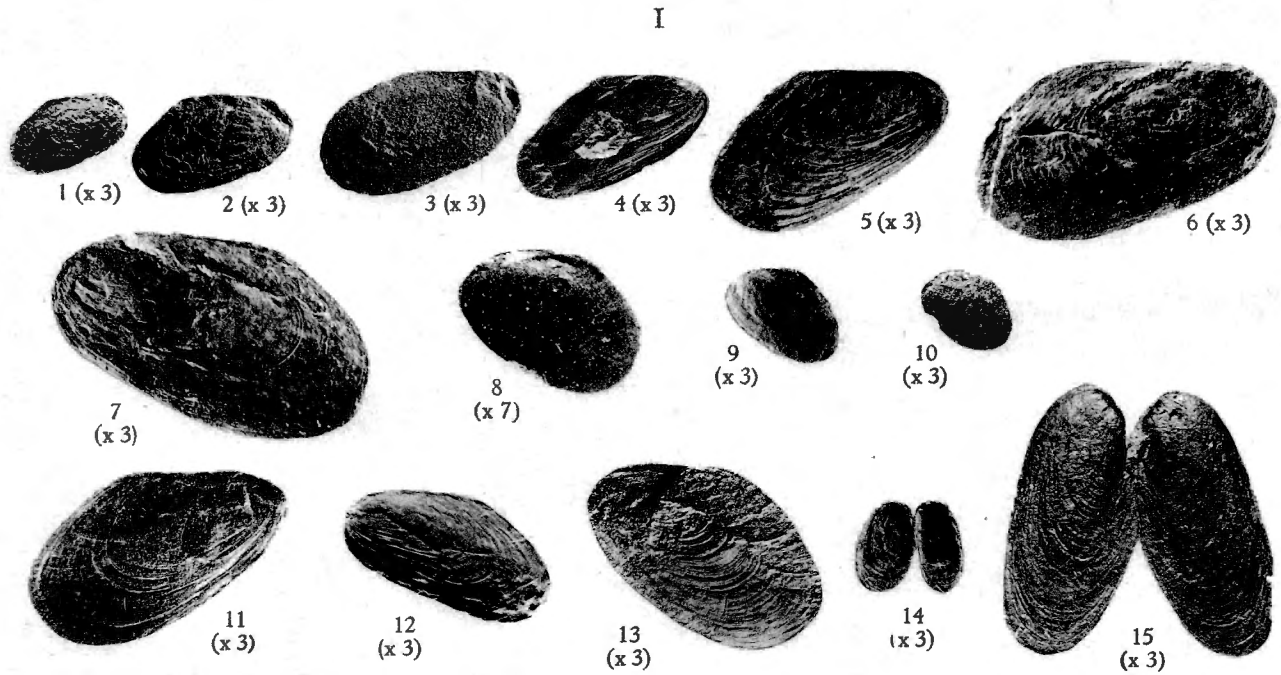
Loc. : Charbonnage de Wérister; siège Josée, étage de 242 m., bouveau Nord, toit de première veinette sous Grosse, niveau n° 43.

FIG. 16 à 21 et 22 à 27. — (N°s J 82, J 258, J 242, J 189, J 244) et (N°s J 106, J 96, J 70, J 367, J 225, J 11). Suite d'exemplaires représentatifs du type moyen, normal.

FIG. 18 et 29. — (N°s J 486, J 184). Suite d'exemplaires présentant une ornementation bien caractérisée.

FIG. 30, 31 et 36. — (N°s J 82, J 407, J 200). Suite d'exemplaires présentant une zone umbonale du test différenciée.

FIG. 32 à 35. — (N°s J 89, J 477, J 267, J 419). Suite d'exemplaires présentant une ligne cardinale et une région umbonale bien caractérisées.



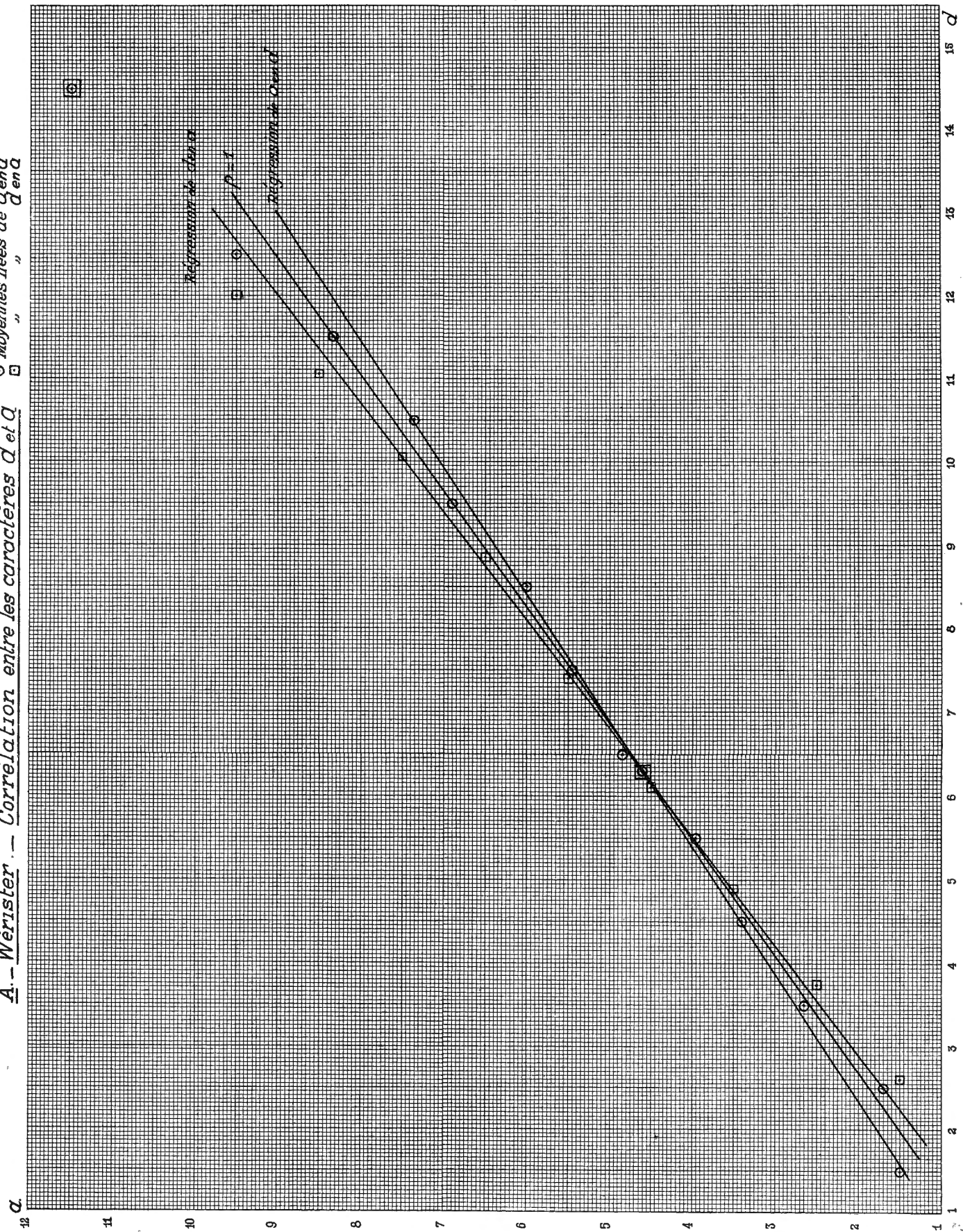
I. - *Anthraconauta minima* (HIND non LUDWIG), non *Anthraconauta belgica* HIND. Gisement de Stud.

II. - *Anthraconauta minima* (HIND non LUDWIG). Gisement de Wérister.

PLANCHES I A XVIII

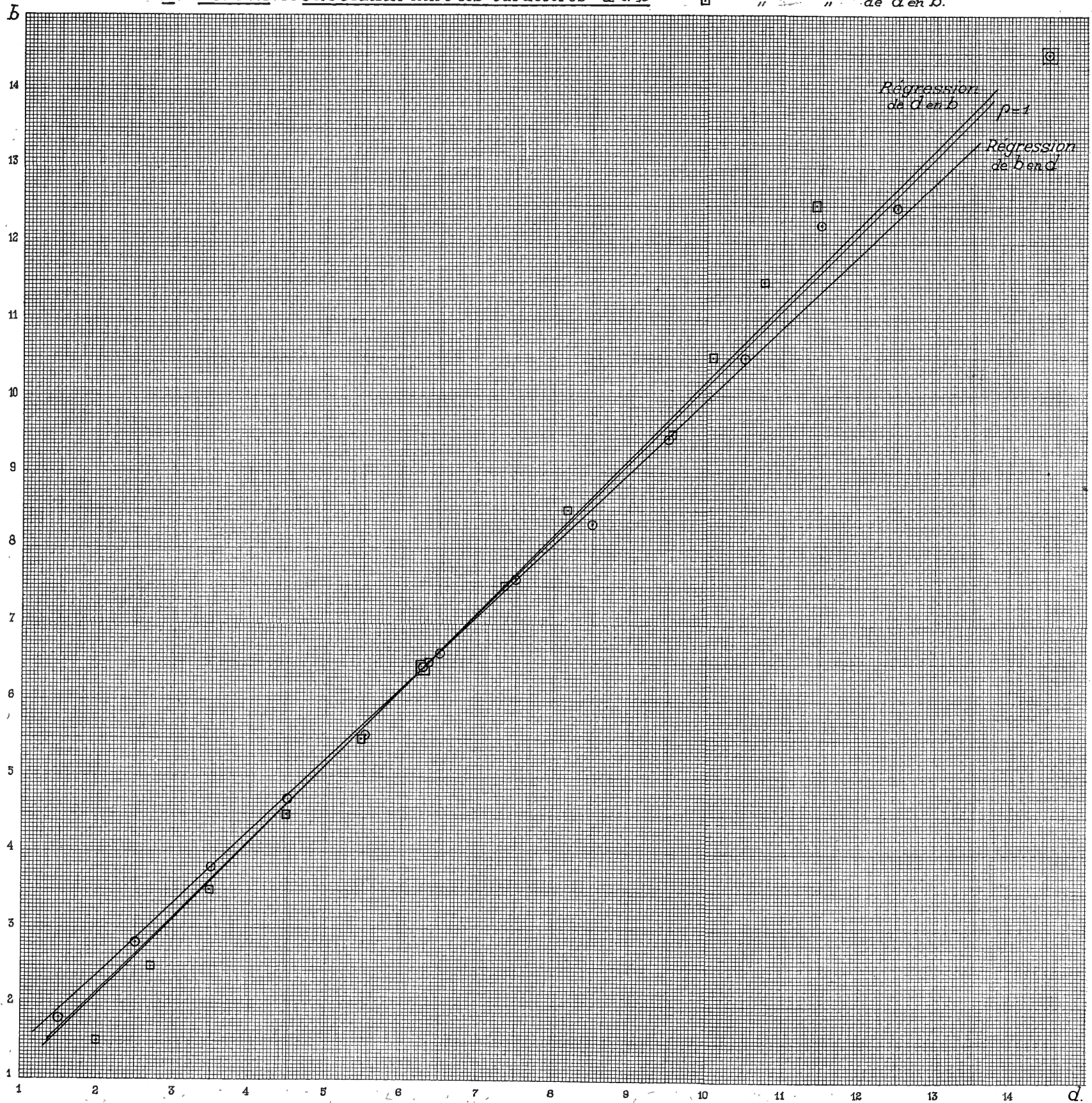
A. — Wérister. — Corrélation entre les caractères d et Q

○ Moyennes liées de d en d
 □ " " " " " "

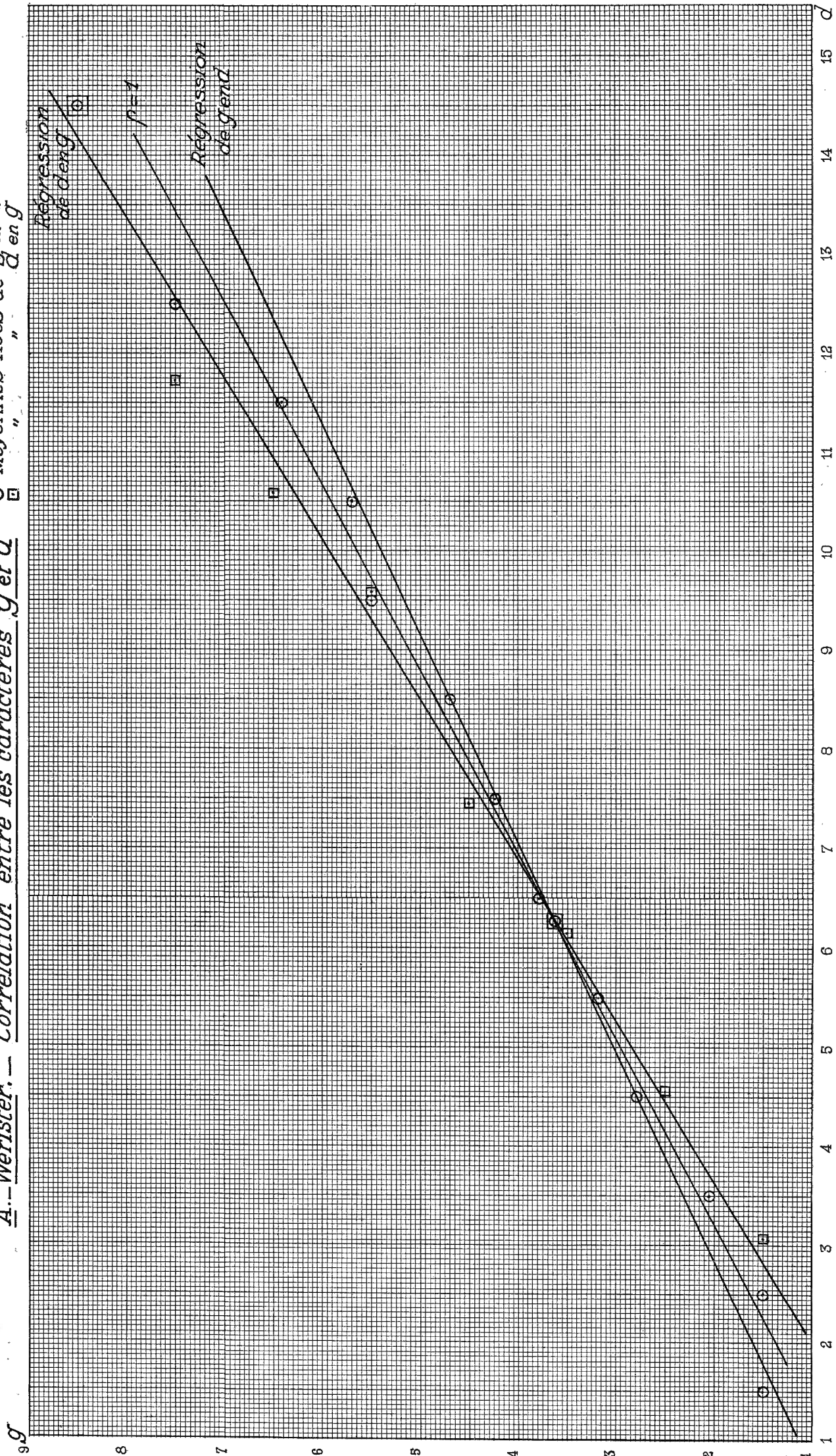


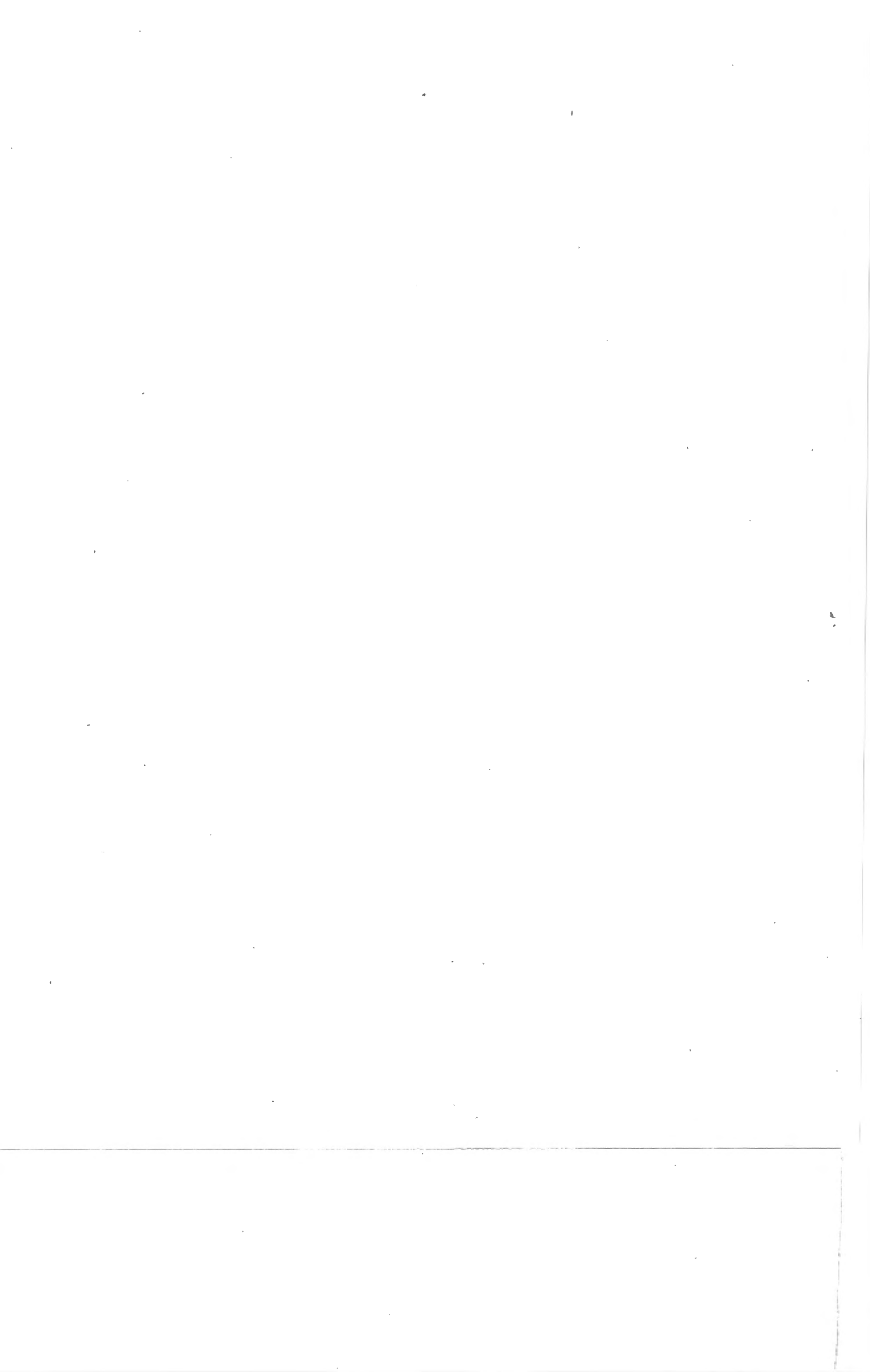
A. — Werister. — Corrélation entre les caractères d et b

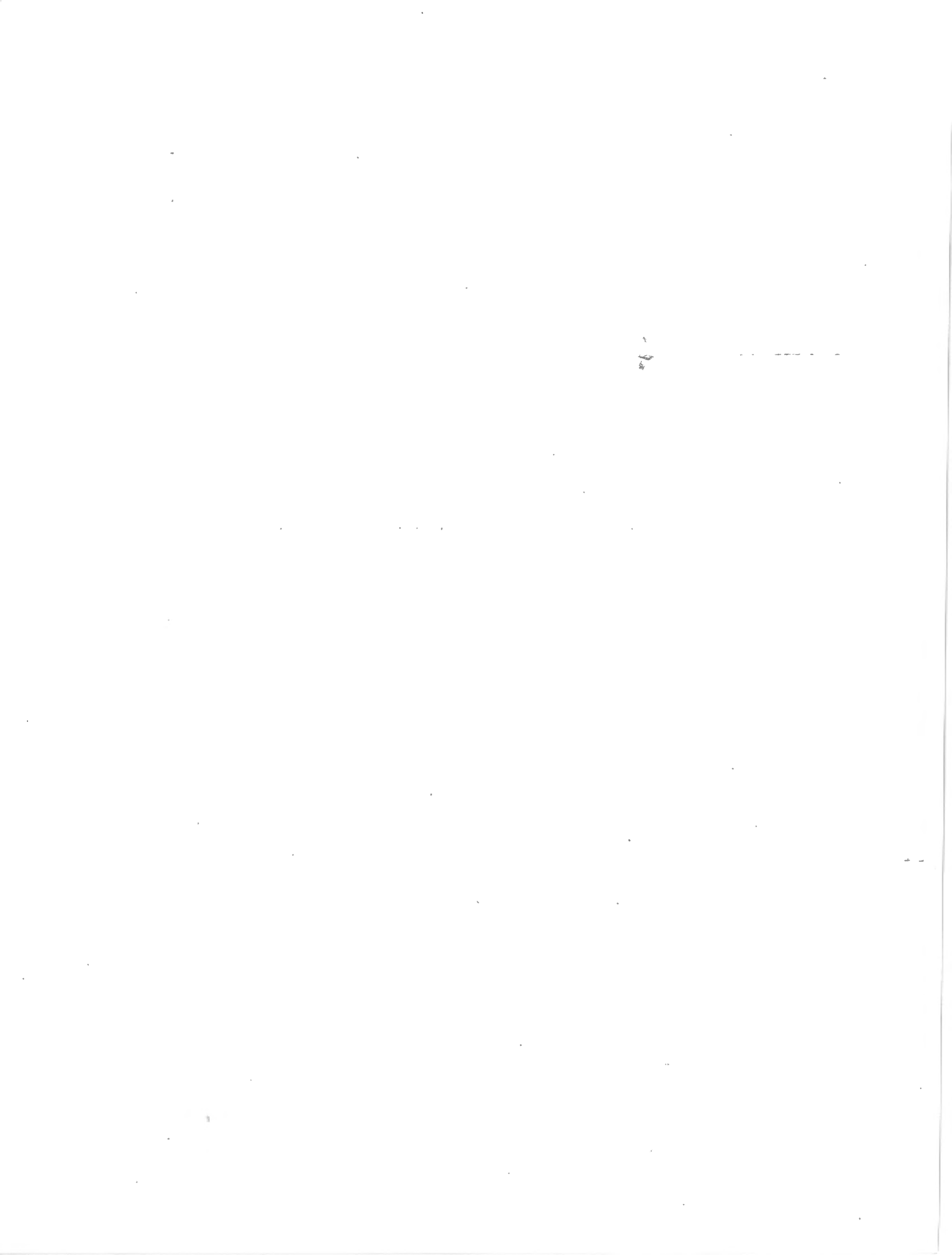
○ Moyennes liées de b en d.
 □ " " " de d en b.

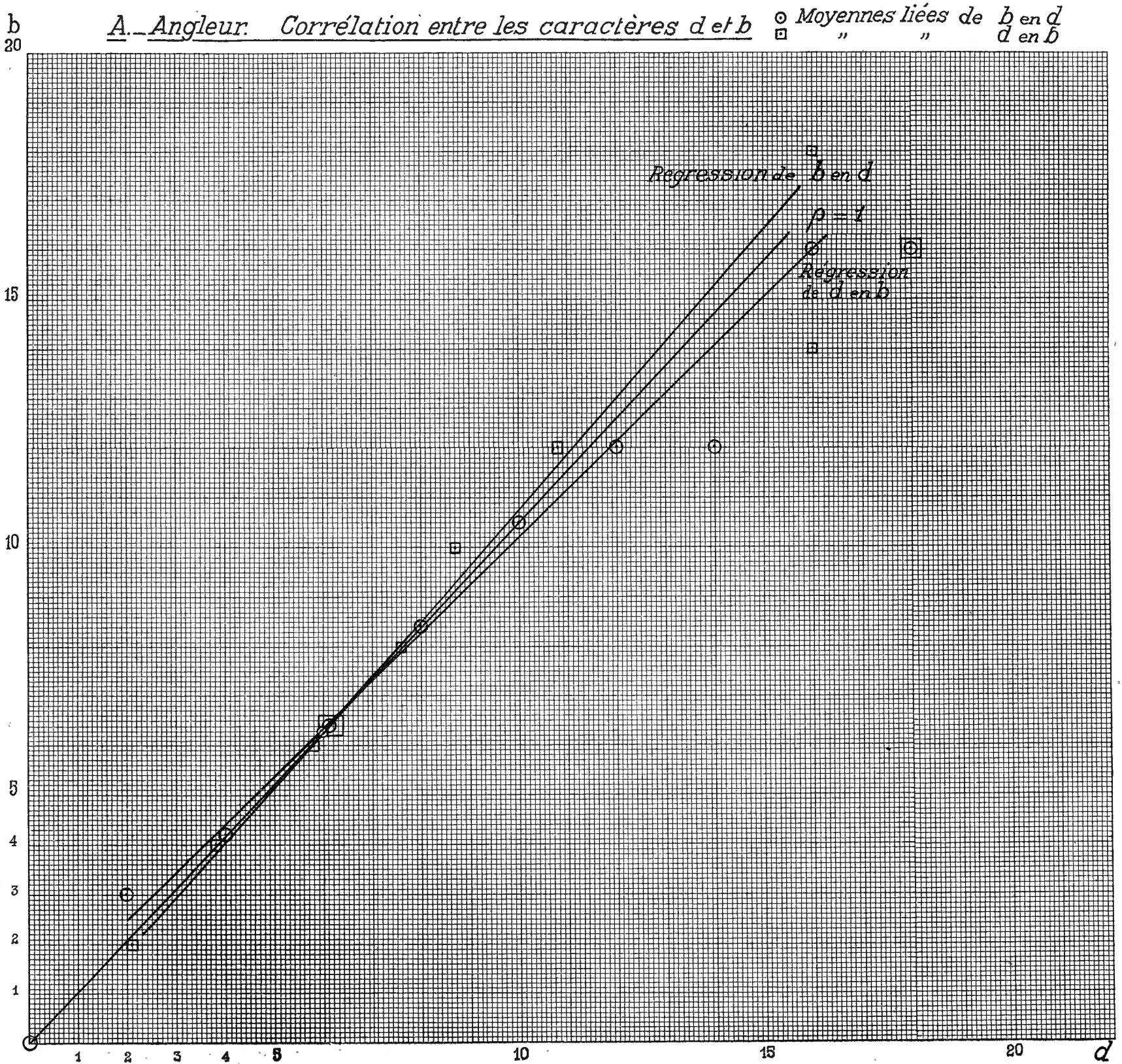


A. — Wérister. — Corrélation entre les caractères g et d Moyennes liées de g en d



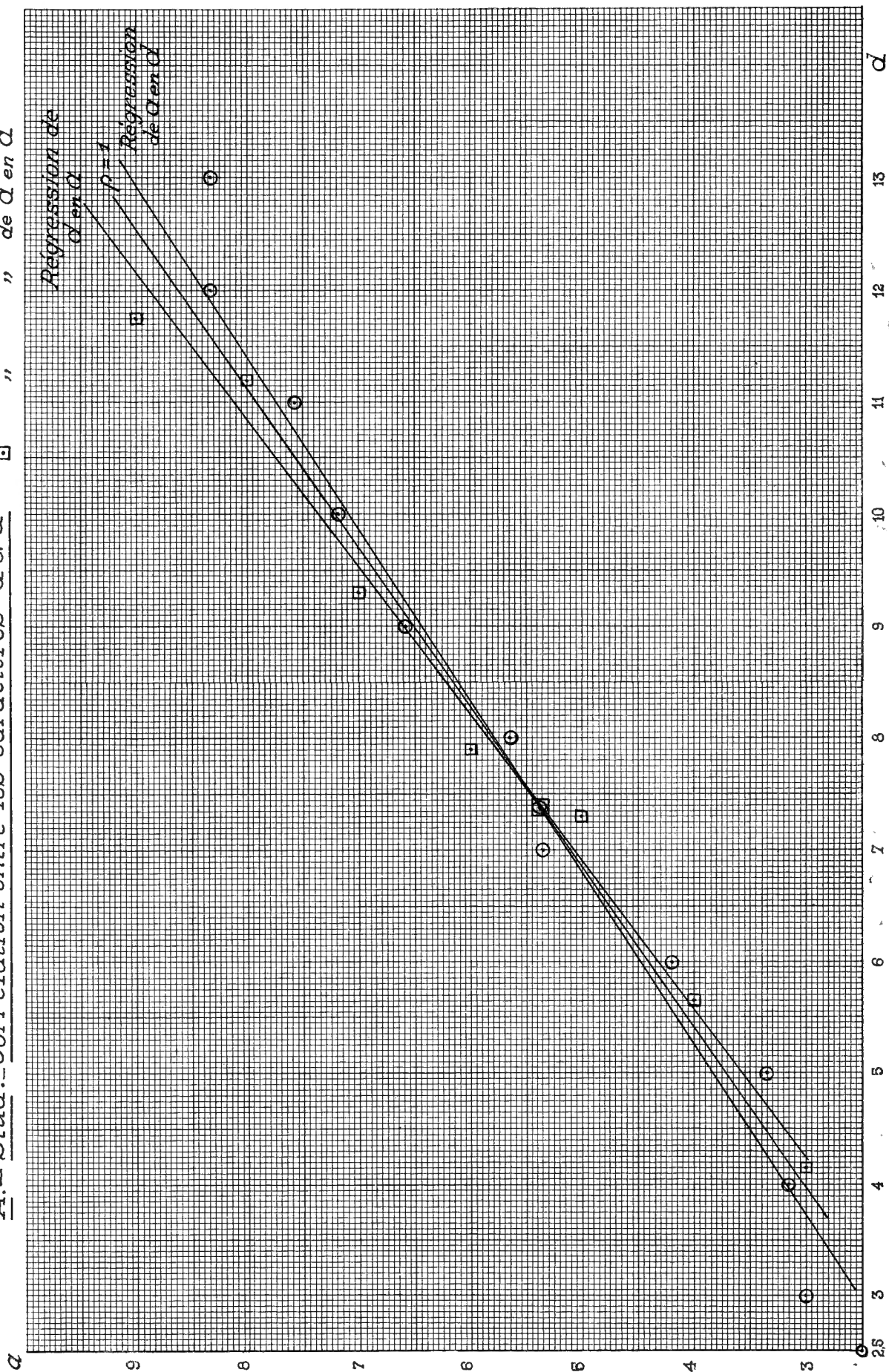






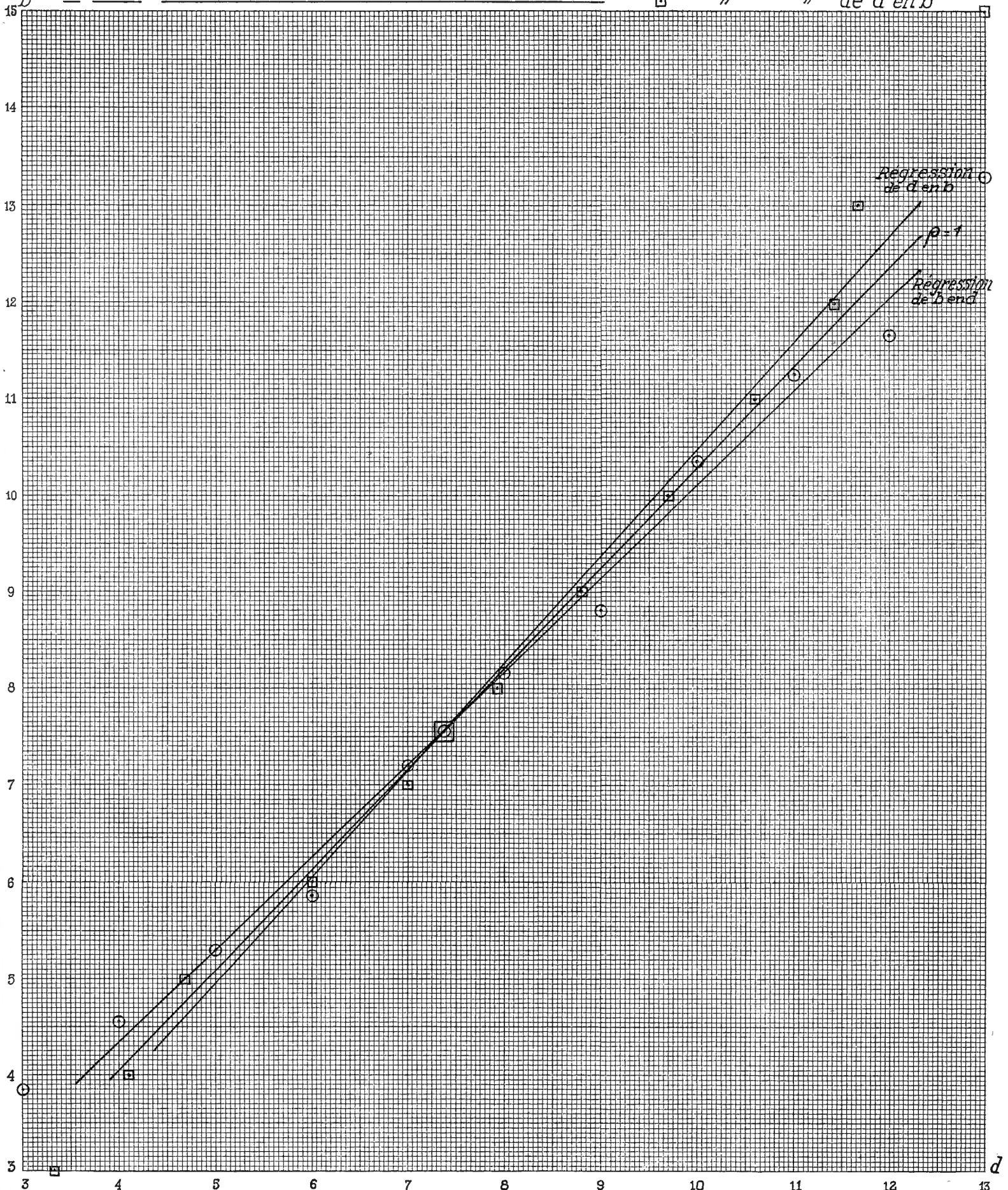
Moyennes liées de α en α'
 " " " de α' en α

A. — Stud. — Corrélation entre les caractères α et α'

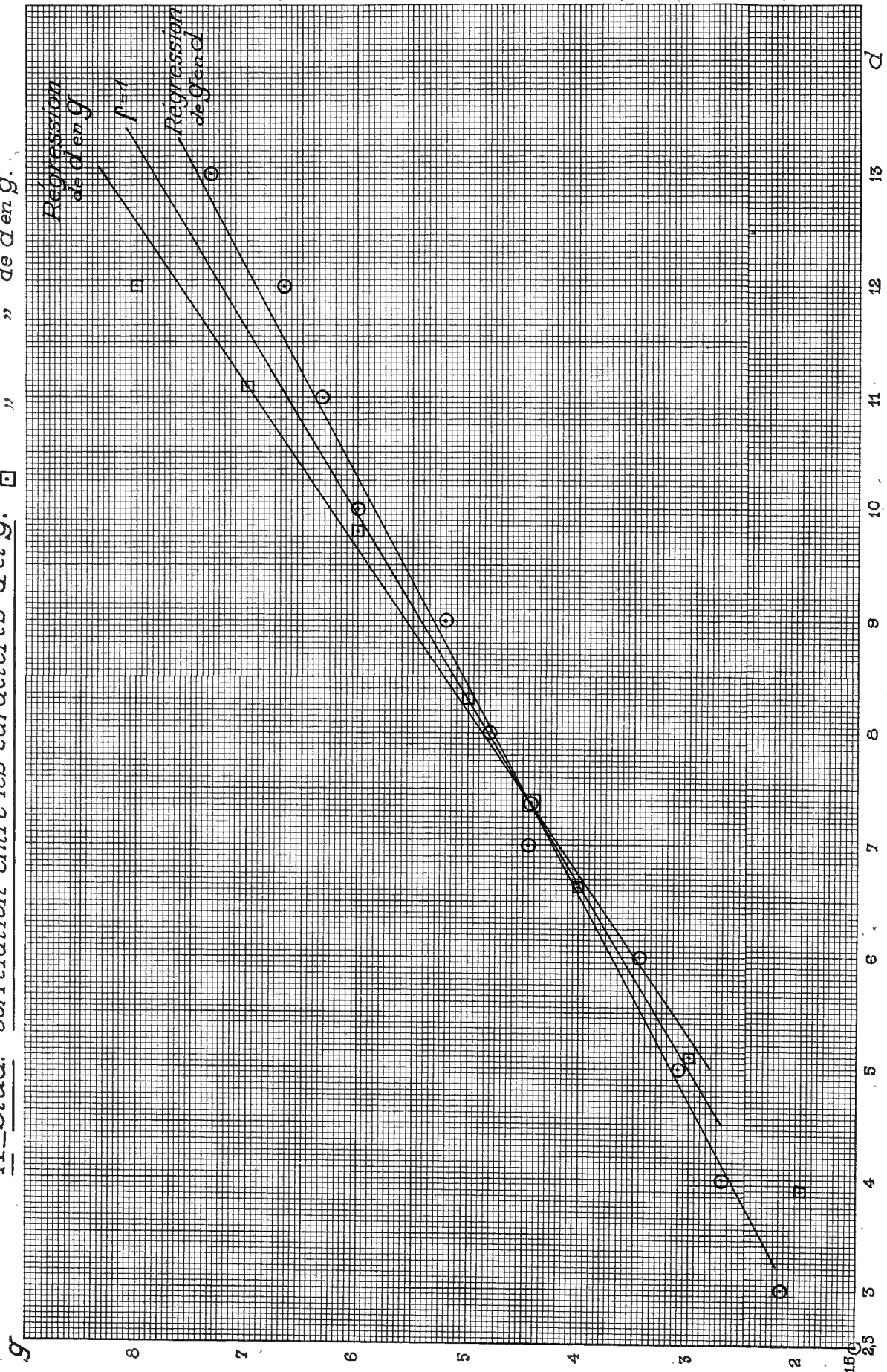


A-Stud. Corrélation entre les caractères d et b

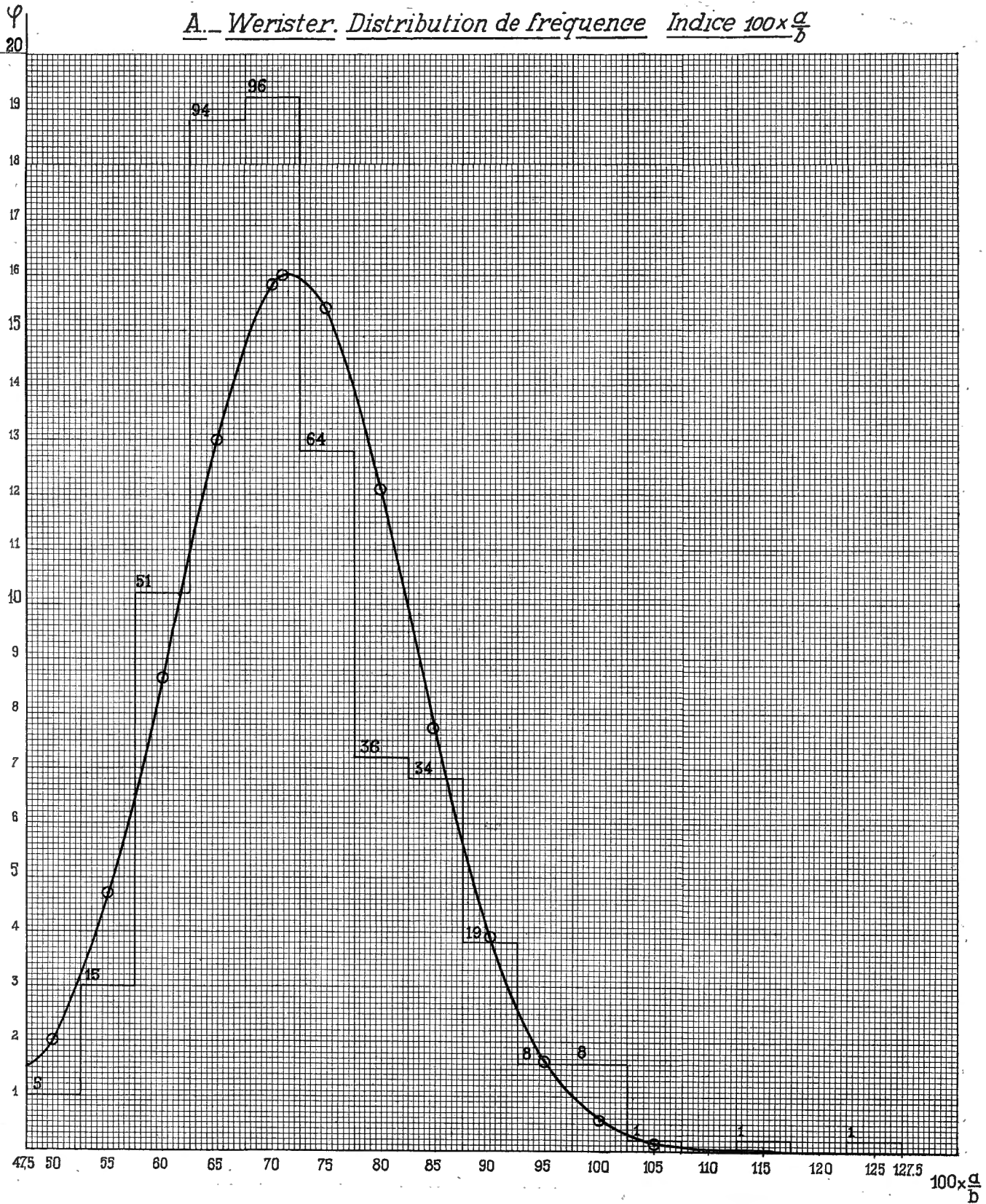
○ Moyennes liées de b en d
 □ " " de d en b



A_ Stud. Corrélation entre les caractères d et g. Moyennes liées de g en d. " " de d en g.



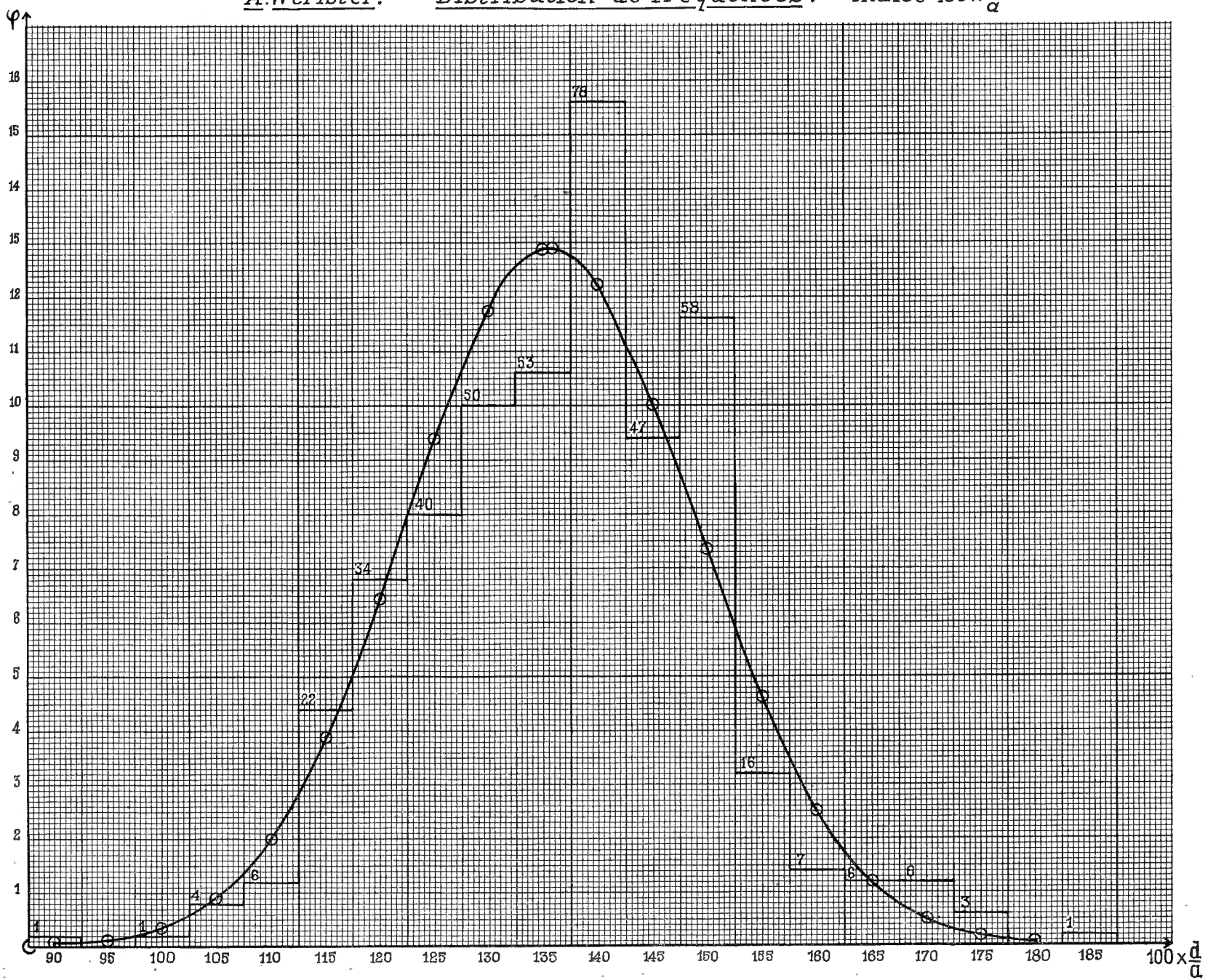




Ch. DELEERS et A. PASTIELS. — Étude biométrique des Anthraconauta du Houiller de la Belgique.

Première partie.

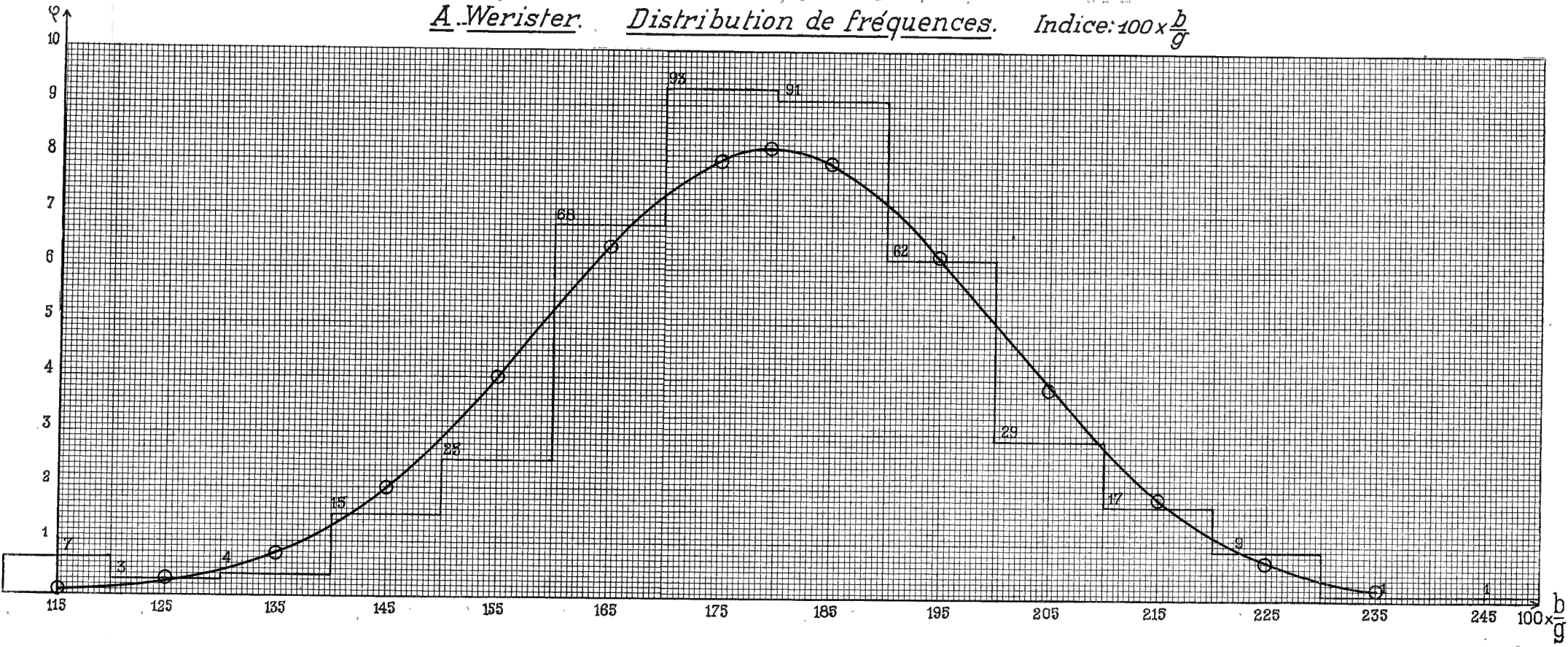
A. Wérister. Distribution de fréquences. Indice $100 \times \frac{d}{a}$



Ch. DELÈRES et A. PASTIEIS. — Étude biométrique des Anthraconauta du Houiller de la Belgique.

Première partie.

A. Werister. Distribution de fréquences. Indice: $100 \times \frac{b}{g}$



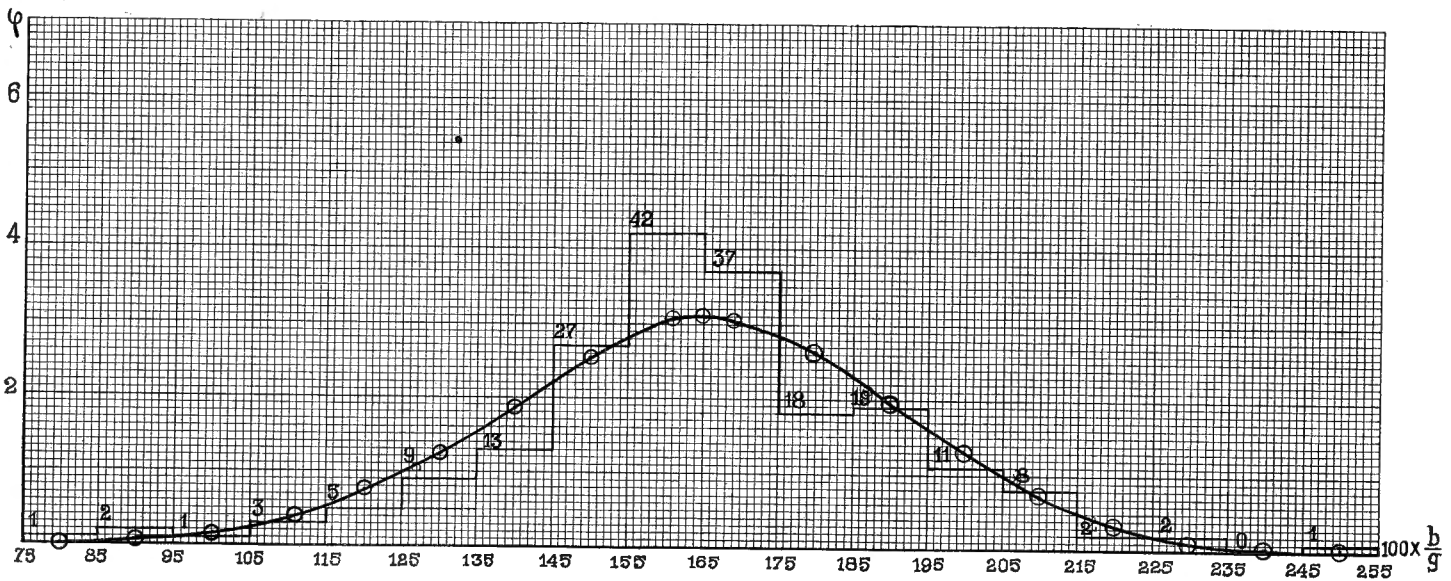
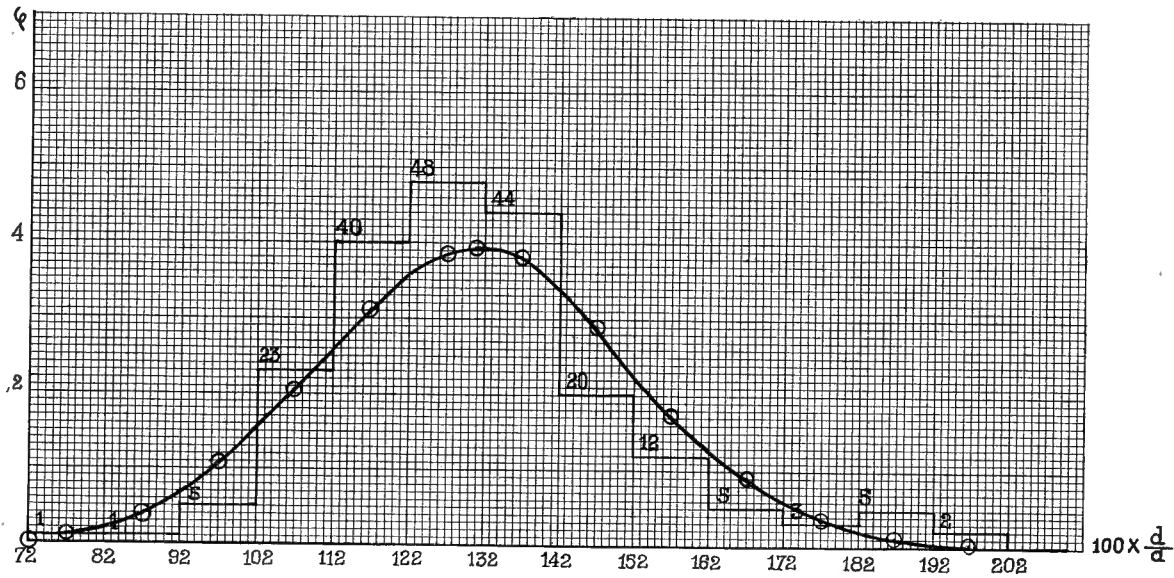
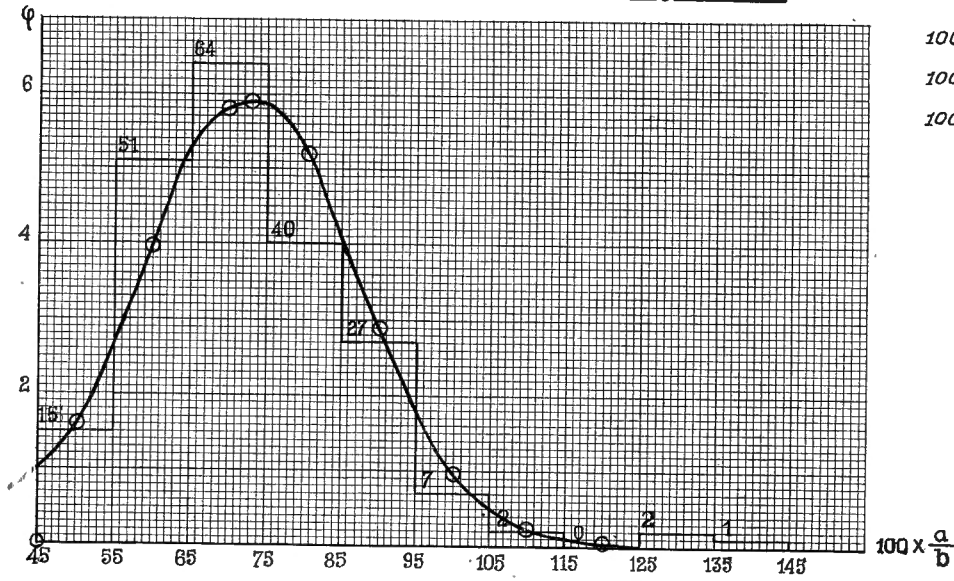
Ch. DELBEERS et A. PASTIERS. — Etude biométrique des Anthraconautes du Houiller de la Belgique.
Première partie.



A.-Angleur - Distributions de fréquences.

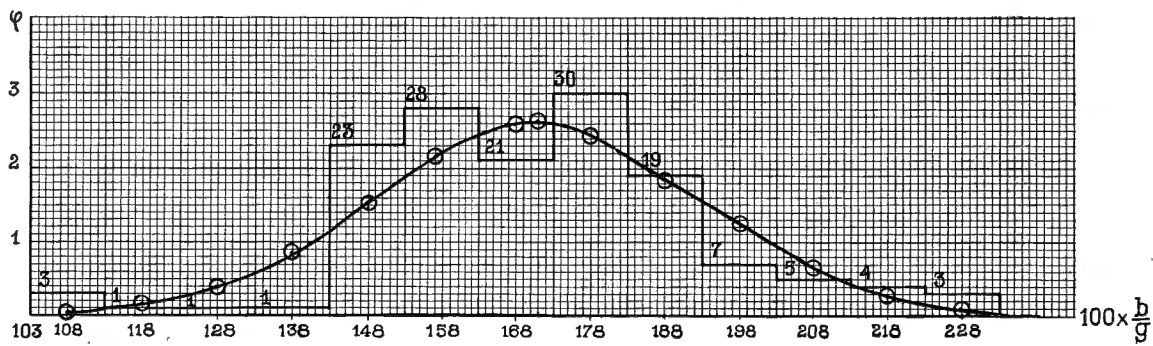
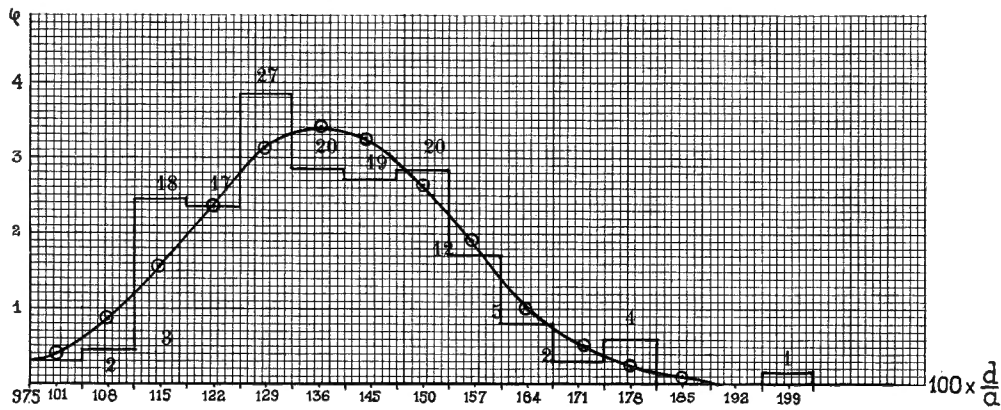
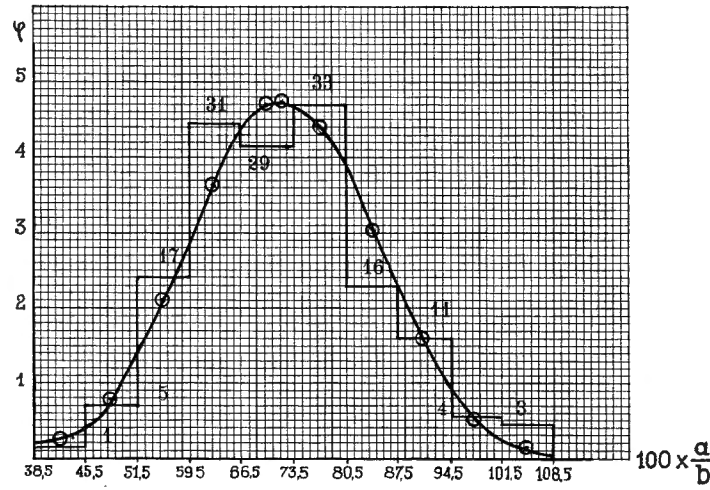
Indices:

- $100 \times \frac{a}{b}$
- $100 \times \frac{a}{c}$
- $100 \times \frac{a}{g}$



A - Stud - Distribution de fréquences

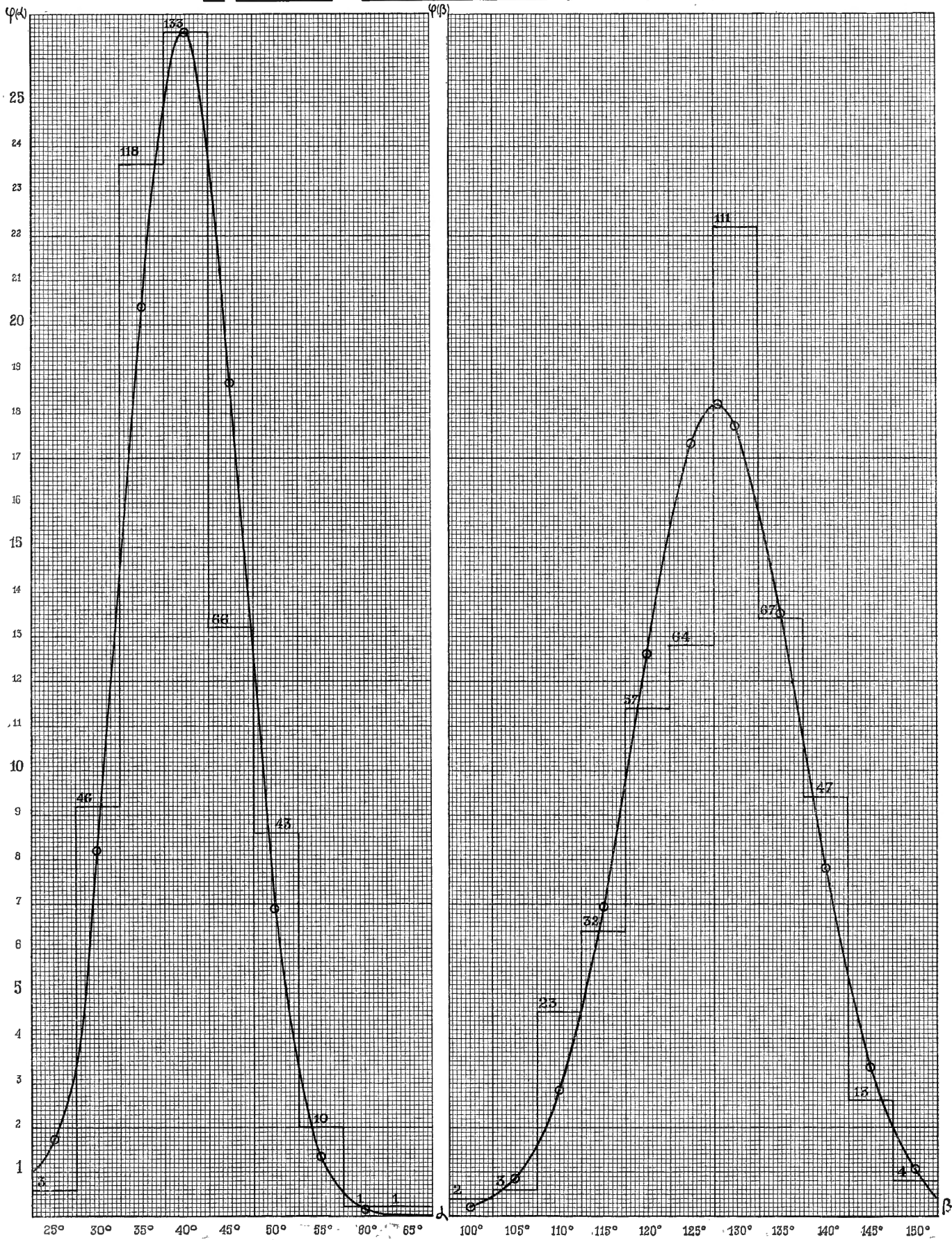
Indices:
 $100 \times \frac{a}{b}$
 $100 \times \frac{d}{a}$
 $100 \times \frac{b}{g}$



Ch. DELEERS et A. PASTIELS. — Étude biométrique des Anthraconauta du Houiller de la Belgique.

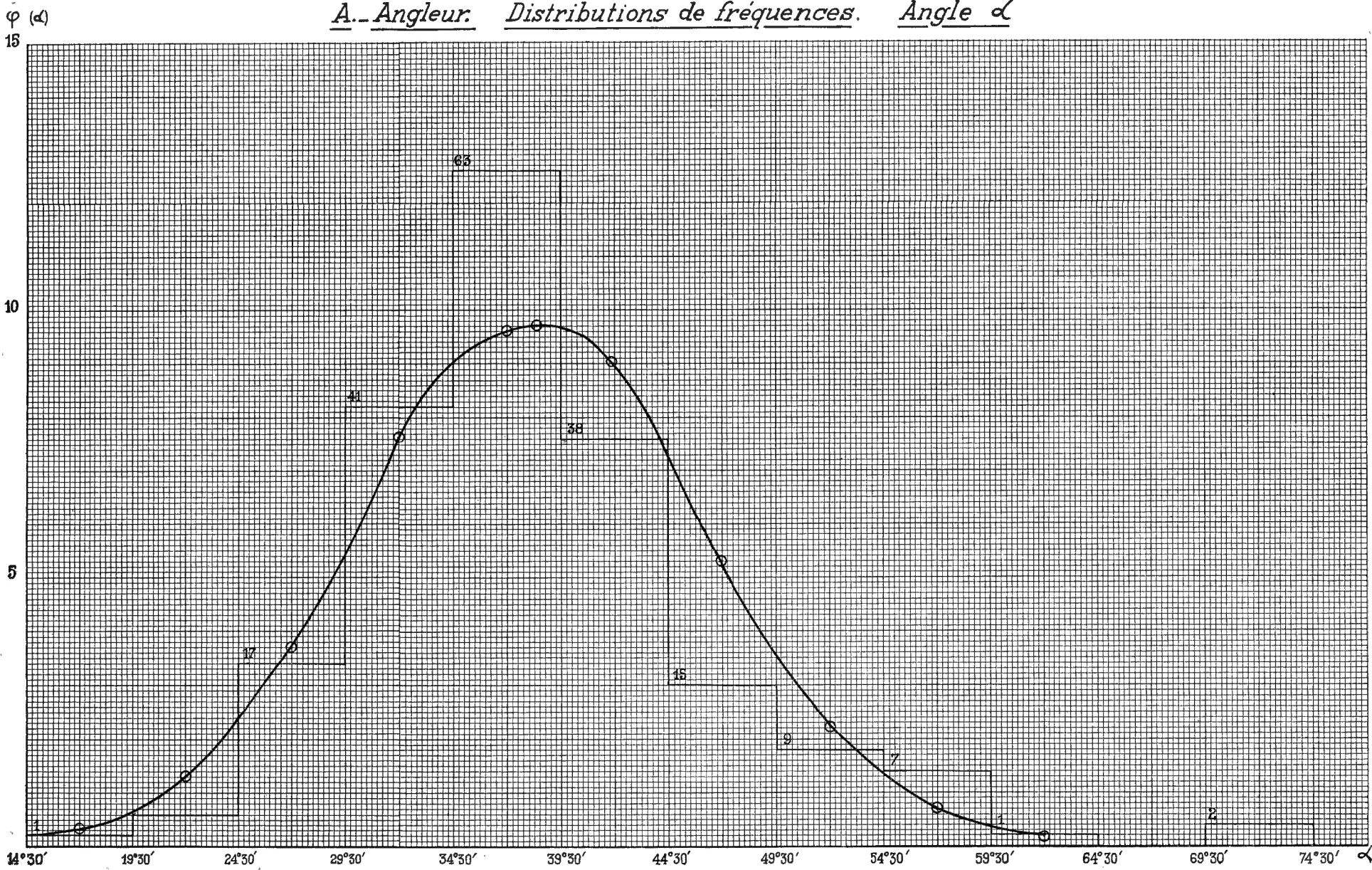
Première partie.

A.-Werister. — Distributions de fréquences Angles α - β



Ch. DELEERS et A. PASTIELS. — Étude biométrique des Anthraconauta du Houiller de la Belgique. Première partie.

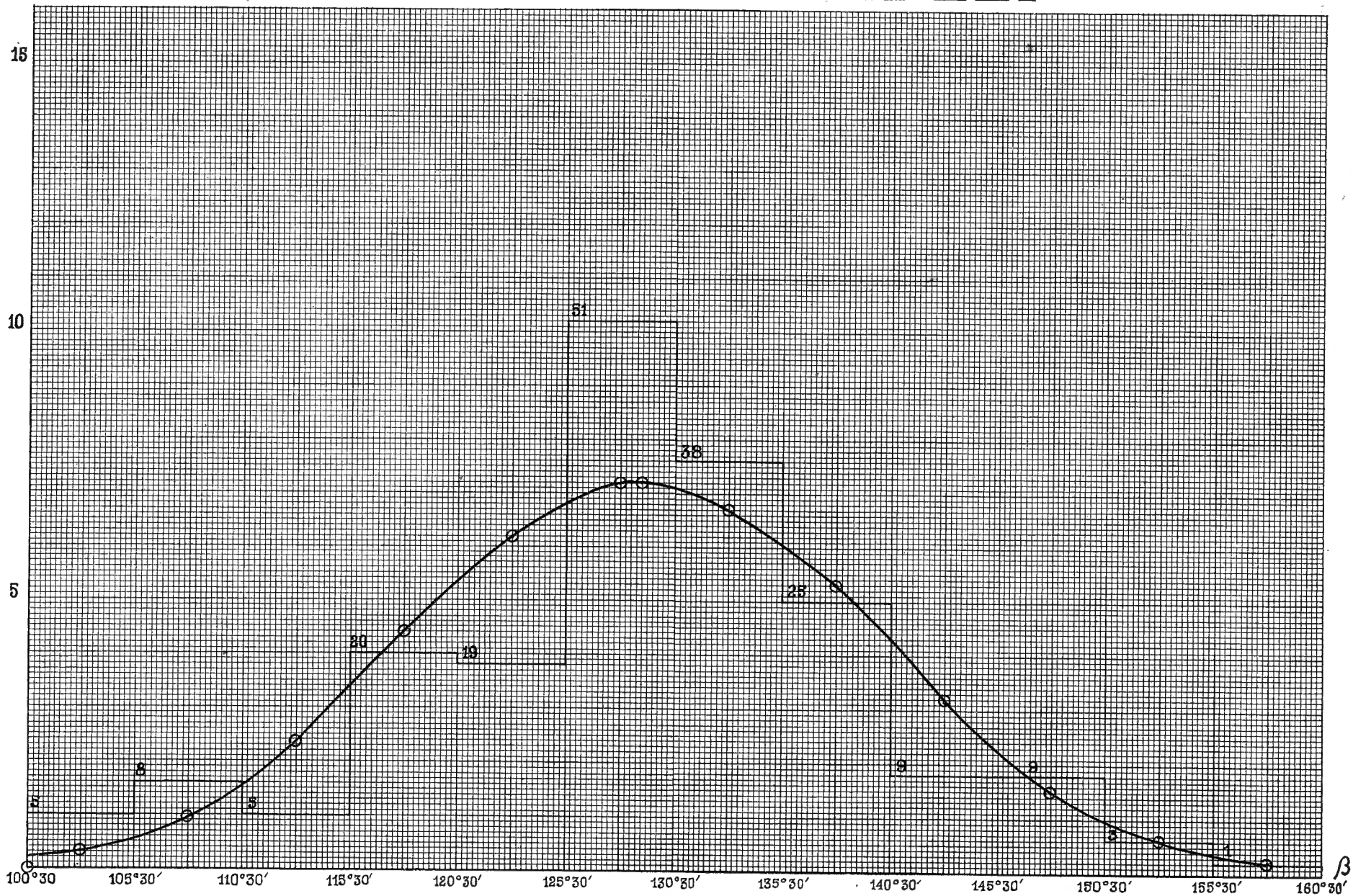
A. — Aneur. Distributions de fréquences. Angle α



Ch. DELEERS et A. PASTELS. — Etude biométrique des Anthraconautes du Houiller de la Belgique.
Première partie.

A. — Angleur. — Distribution de fréquences. Angle: β

φ (β)

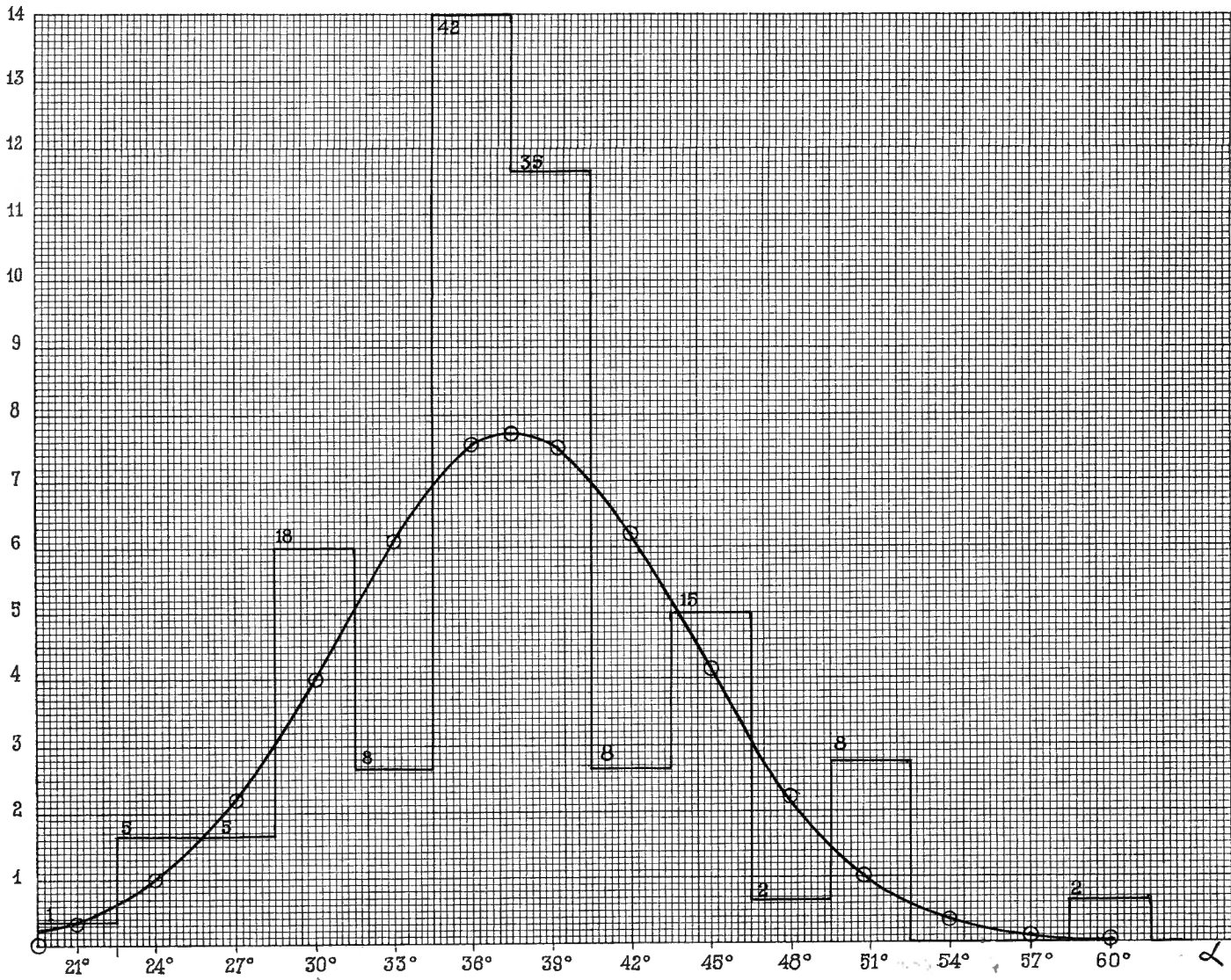


Ch. DELEERS et A. PASTIELS. — Etude biométrique des Anthraconants du Houiller de la Belgique.

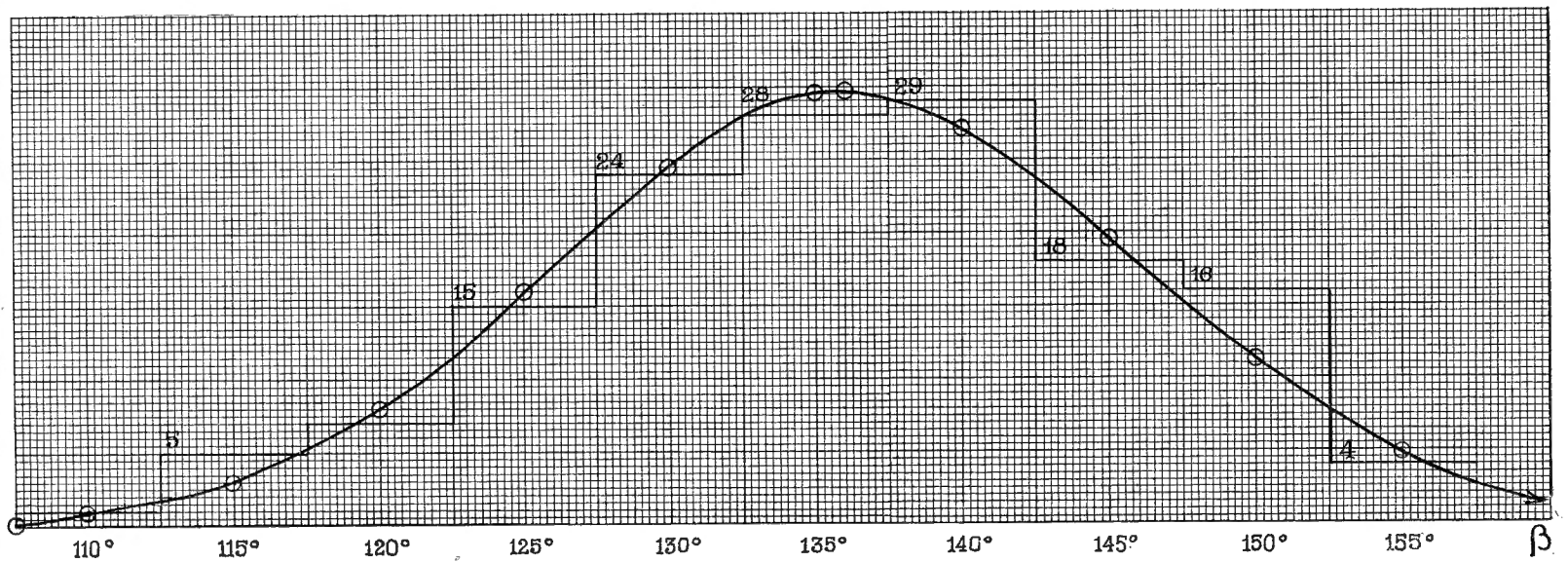
Première partie.

$\varphi(\alpha)$

A. — Stud. Distributions de fréquences. Angles: α — β .



$\varphi(\beta)$



Gh. DELEERS et A. PASTIELS. — Étude biométrique des Anthraconauta du Houiller de la Belgique,

Première partie.

